

Universidade Estadual de Campinas
Institute of Mathematics, Statistics and Scientific
Computing
(IMECC - Unicamp)

Projeto Computacional 1:

Análise de do comportamento do COVID-19 por
ajuste de curvas não-lineares e Classificação de dígitos
do MNIST utilizando regressão logística

Aluno : Gabriel Borin Macedo || RA : 197201
Aluno : Matheus Araujo Souza || RA : 184145
Aluno : Raul Augusto Teixeira || RA : 205177

Agosto 2020

1 Resumo

Com a grande disponibilidade de dados que temos atualmente, assim como a relativa popularização de *hardwares* de alto desempenho, contribuíram para o uso de mais técnicas de *Machine Learning* tais como *regressão* e *classificação*. Mesmo que existam técnicas de predição ou classificação de dados com maior precisão (por exemplo a utilização de *Deep learning* [2] nessas tarefas), ainda essa técnicas de *Machine Learning* se demonstram bem eficazes.

Baseado nisso, esse trabalho visa em estudar a técnica de regressão e regressão logística (classificação) utilizando as metodologias do *Machine Learning*. Por fins prático, esse trabalho foi dividido em duas partes.

Na primeira parte desse trabalho, foi utilizado as aproximações polinomial, exponencial e a analítica para criar um modelo que prevê a quantidade de infectados pela doença de acordo com o dia. Pelos resultados, foi observado que a curva polinomial, mais precisamente para o polinômio de grau 10, é a que melhor se aproxima a previsão correta. Além disso, a curva polinomial se aproximou de forma satisfatória

Já na segunda parte, foi criado um modelo de regressão multi-classe para classificar dígitos à mão dos números 1 à 10 e verificar a taxa de acerto do modelo durante a classificação.

Em ambas as partes, também foi estudado o comportamento das funções quando se variava o parâmetro α do gradiente descente (esse valor será descrito com mais detalhes ao longo do relatório). Um outro adendo é que todos os *plots* e resultados serão colocados em uma folha de anexo. No geral, ambos os modelos foram bem satisfatórios e se percebeu que a mudança do valor de α determina a taxa de convergência e até mesmo a taxa de convergência dos modelos. Esses valores de α variam para cada tipo de abordagem e o recomendado é se utilizar valores pequenos e aumentar caso a convergência seja lenta.

Com esses resultados, percebeu-se que essas técnicas de *Machine Learning* ainda são úteis, tanto para as tarefas de regressão e classificação, pois apresentaram um excelente desempenho e ainda são alternativas viáveis para se utilizar nesses problemas.

2 Estrutura matemática

2.1 Regressão não - linear

Esse método visa em aproximar os dados de correlação de elementos através de uma curva não linear e utiliza os dados dos parâmetros do vetor para fazer isso. Usualmente, é definido essa função sendo da seguinte forma

$$h_{\theta}(x) = \theta_0 + \sum_{i=1}^n \theta_i x_i$$

Onde x é o vetor de entrada para o problema com dimensão 1 x m e θ_j com $j \in [0, n]$ são os respectivos pesos que melhor aproximam essa curva linear. Para melhor desempenho computacional, podemos deixar a função $h_{\theta}(x)$ vetorizada. Isso é feito adotando que

$$\Theta = \begin{bmatrix} \theta_0 \\ \theta_1 \\ \vdots \\ \theta_n \end{bmatrix}$$

e que

$$X = \begin{bmatrix} 1 \\ x_1 \\ \vdots \\ x_n \end{bmatrix}$$

Com isso, temos que a equação é da forma $h_\theta(x) = \Theta^T X$. Note que podemos também fazer ajuste por curvas que também **não lineares**. Por exemplo, podemos adotar o vetor Θ com a componente $x_2 := (x_1)^2$.

Nesse trabalho, iremos fazer um ajuste de três tipos de curvas. Para todos os casos, iremos adotar um vetor X sendo da seguinte forma

$$X = \begin{bmatrix} 1 \\ x_1 := (x_1)^1 \\ \vdots \\ x_n := (x_n)^n \end{bmatrix}$$

ou seja, iremos fazer a aproximação das curvas utilizando polinômios de grau n . Além disso, foi adotado nesse trabalho que $n = 3, 5, 10$.

2.1.1 Função perda e atualização dos parâmetros θ_j utilizando o gradiente descendente

Para atualizar o valor dos θ_j , é adotado a seguinte função J

$$J(\theta) = \frac{1}{2m} \sum_{i=1}^m (h_\theta(x^{(i)}) - y^{(i)})^2$$

com isso, aplicando o operador gradiente e visto o resultado durante a aula. Obtemos a uma relação para atualização dos pesos sendo da forma

$$\theta_j := \theta_j - \frac{\alpha}{m} \sum_{i=1}^m (h_\theta(x^{(i)}) - y^{(i)})^2 x_j \quad \forall j \geq 0$$

onde α é um parâmetro arbitrário adotado para acelerar o processo do gradiente descendente.

Entretanto, não é recomendando utilizar valores elevados para α , pois o gradiente pode acabar se distanciando dos melhores pesos devido a essa escolha. Por outro lado, valores menores para α deixam o gradiente mais estável para encontrar os valores de θ_j . Porém, com uma taxa de convergência menor.

Dessa forma, a escolha do valor de α é uma parte importante do modelo para encontrar os modelo, podendo gerar melhores ou piores resultados com essa convergência. Nesse trabalho, foram adotado os valores $\alpha = 10, 3, 1, 0.3, 0.1, 0.03, 0.01, 0.003, 0.001$

2.1.2 Normalização dos valores utilizando *scaling*

Um método que é possível adotar para acelerar o método do gradiente descendente é normalizar os dados utilizando o *scaling*. Essa técnica consiste em pegar os valores x_j e restringir eles em uma mesma faixa de valor.

Para cada x_j , teremos que a nova relação será da forma

$$x_j^{(i)} := \frac{x_j^{(i)} - \min(x_j)}{\max(x_j) - \min(x_j)}$$

2.1.3 Aproximando a função por uma exponencial

Queremos estudar o comportamento da função $h_\theta(x) = \theta_0 e^{\theta_1 x}$. Para isso, iremos aproximar a curva aplicando \ln na equação.

$$\ln(h_\theta(x)) = \ln(\theta_0 e^{\theta_1 x}) = \ln(\theta_0) + \ln(e^{\theta_1 x}) = \ln(\theta_0) + \theta_1 x \ln(e)$$

com isso, temos a equação $\ln(h_\theta(x)) = \theta_0 + \theta_1 x$. Dessa forma, tomando que $y_\theta(x) = \ln(h_\theta(x))$, temos a equação que será utilizada como base para encontrar os pesos θ_1 e θ_2 sendo

$$y_\theta(x) = \theta_1 + \theta_2 x$$

Note que com isso, temos que refazer duas adaptações bem simples na função de perda e na função atualização dos pesos. Assim, temos a função de perda sendo

$$J(\theta) = \frac{1}{2m} \sum_{i=1}^m (y_\theta(x^{(i)}) - y^{(i)})^2$$

e a atualização dos pesos sendo

$$\theta_j := \theta_j - \frac{\alpha}{m} \sum_{i=1}^m (y_\theta(x^{(i)}) - y^{(i)})^2 x_j \quad \forall j = 0, 1$$

Outra readaptação que será necessária é atualizar os antigos valores de $y^{(i)}$ para a escala \ln . Ou seja, $y^{(i)} := \ln(y^{(i)})$

2.1.4 Utilização de equações normais

Dado um problema que temos m exemplos de treinamento da forma $(x^{(i)}, y^{(i)})$, onde cada vetor de treinamento possui n elementos da forma

$$x^{(i)} = \begin{bmatrix} x_1^{(i)} \\ x_2^{(i)} \\ \vdots \\ x_m^{(i)} \end{bmatrix}$$

sendo o vetor de cada dado de treinamento. Com isso, iremos definir uma matriz denominada de *matriz de design* que é definida da forma

$$X = \begin{bmatrix} -(x^{(1)})^T - \\ -(x^{(2)})^T - \\ \vdots \\ -(x^{(n)})^T - \end{bmatrix} = \begin{bmatrix} x_1^{(1)} & x_2^{(1)} & \dots & x_n^{(1)} \\ x_1^{(2)} & x_2^{(2)} & \dots & x_n^{(2)} \\ \vdots & \vdots & \dots & \vdots \\ x_1^{(m)} & x_2^{(m)} & \dots & x_n^{(m)} \end{bmatrix}$$

e com o vetor y

$$y = \begin{bmatrix} y^{(1)} \\ y^{(2)} \\ \vdots \\ y^{(m)} \end{bmatrix}$$

sendo o vetor das respostas. Com isso, queremos encontrar a melhor valor de Θ de tal forma que melhor aproxima a solução $X\Theta \approx y$. Dessa forma, para encontrar o melhor valor de Θ , iremos usar a função de perda sendo

$$J(\Theta) = \|y - X\Theta\|^2 = y^T y - 2\theta^T X^T y + \Theta^T X^T X \Theta$$

Agora, minimizando a função $J(\Theta)$, temos que

$$\frac{\partial J(\Theta)}{\partial \Theta} = 2X^T X \Theta - 2X^T y = 0 \implies X^T X \Theta = X^T y$$

sendo a solução sendo $\Theta = X' y$, onde $X' = (X^T X)^{-1} X^T$.

Por fim, iremos melhorar a resolução do sistema fazendo a multiplicação :

$$X^T (X\Theta) = X^T y \implies X^T X \bar{\Theta} = X^T y$$

essa equação é denominada como *equação normal* e a solução $\bar{\Theta}$ também é uma solução ótima para o problema e ainda minimiza a função $J(\Theta)$

2.1.5 Utilização da função normal por uma exponencial

Em nosso problema, vamos adotar que $n = 2$ sendo a *matriz de correlação*

$$X = \begin{vmatrix} 1 & x_1^{(1)} \\ 1 & x_1^{(2)} \\ \vdots & \vdots \\ 1 & x_1^{(m)} \end{vmatrix}$$

a matriz y sendo

$$y = \begin{vmatrix} \ln(y^{(1)}) \\ \ln(y^{(2)}) \\ \vdots \\ \ln(y^{(m)}) \end{vmatrix}$$

e a matriz Θ sendo

$$\Theta = \begin{vmatrix} \theta_0 \\ \theta_1 \end{vmatrix}$$

e com essas definições, iremos calcular os valores de θ_0 e θ_1 através da relação $X^T X \Theta = X^T y$.

2.2 Regressão logística

Esse tipo de técnica é utilizada quando é necessário classificar objetos em um conjunto de k -classes, apenas utilizando uma faixa de valor entre 0 e 1. Um aspecto interessante sobre essa técnica é que toda essa teoria foi baseada utilizando a metodologia da regressão linear e não linear e baseando em alguns teoremas estatísticos. Dessa forma, é definido a função g sendo

$$g(\Theta^T X) = \frac{1}{1 + e^{-(\Theta^T X)}}$$

onde Θ é a matriz dos pesos e X é a matriz de *design* e é da forma $X_{n \times m}$. Além disso, é definido a função de perda utilizando o teorema do *Maximum likelihood estimation*, temos a expressão

$$P(y = a|X; \theta) = (g(\Theta^T X))^a (1 - g(\Theta^T X))^{1-a}$$

na qual será útil para realizarmos a classificação das multi-classes.

2.2.1 Função de perda e gradiente descendente para multi-classes

Visto em sala de aula, sabemos que a função de perda é definida da seguinte forma

$$J(\Theta) = \frac{-1}{m} [\sum_{i=1}^m y^{(i)} \log(g(\Theta^T X^{(i)}))(1 - y^{(i)}) \log(1 - g(\Theta^T X^{(i)}))]$$

e a atualização de pesos sendo simultânea para todos os θ_j sendo da forma matricial

$$\Theta := \Theta - \frac{\alpha}{m} X^T (g(X\Theta) - y)$$

e com os valores de $\alpha = 0.01, 0.2, 0.4, 0.8, 1.0, 1.5$.

2.2.2 Predição da classe dos dados

Se tivermos k -classes para classificarmos, iremos tomar k -classificadores que tentam melhor se aproxima para aquela classe do objeto. Com isso, temos a função para cada classe será da forma

$$h_{\theta}^{(i)}(X) = P(y = i|X; \theta); \forall i \in [1, k] \text{ e } i \in N.$$

Além disso, é criado um vetor onde cada índice dele corresponde a classe do objeto classificado. Ou seja, seja o vetor $v_{classe} = [1, 2, 3, \dots, k]$ e o vetor das probabilidades de cada classificador sendo $v_{prob} = [h_{\theta}^{(1)}(X), h_{\theta}^{(2)}(X), h_{\theta}^{(3)}(X), \dots, h_{\theta}^{(k)}(X)]$.

Dessa forma, temos que a classe prevista é da forma $\arg \max(v_{prob})$ que corresponde ao índice do vetor da classe procurada.

3 Resultados Práticos

3.1 Regressão Linear e não Linear

Nessa parte, foi utilizado a parte de regressão para tentar prever o comportamento da COVID-19 através de uma função polinomial e de uma função exponencial. O *dataset* utilizado foi os casos de COVID no Brasil nos dias 25 de fevereiro e que se estendia até 100 dias depois. Para analisar melhor o comportamento, foi variado os valores de α e a aproximação por polinômios distintos para ver qual seria o melhor comportamento da função de predição.

Mantendo $\alpha = 0.5$, obtivemos os seguintes custos finais de $J(\Theta)$ para $n = 3, n = 5$ e $n = 10$, respectivamente: $1.77 * 10^8, 1.69 * 10^8, 7.01 * 10^7$. Assim, o polinômio de ordem 10 forneceu a melhor aproximação em relação aos dados de treinamento.

Analisando os gráficos, vemos que, nos três casos, o custo ao longo das iterações sempre diminui, logo a regressão linear está correta. Além disso, quanto menor o grau do polinômio, pior é a aproximação para a fronteira à esquerda de x dos dados de treinamento.

Portanto, nesse caso, a melhor aproximação para $\alpha = 0.2$ foi utilizar um polinômio de grau igual a 10.

Nesse exercício, aproximamos $\log(y)$ por $\log(h_\theta(x))$. Mantendo $\alpha = 0.5$, obtivemos um custo final de $J(\Theta) = 1.2$, o que é um ótimo resultado.

Plotamos dois tipos de gráficos: $\log(y)$ versus $\log(h_\theta(x))$ e y versus $h_\theta(x)$, além do custo $J(\Theta)$ ao longo das iterações. Analisando os gráficos, vemos que a aproximação polinomial foi contra-intuitivamente melhor que a exponencial, apesar de a exponencial ter dado um custo final menor. Ficamos surpresos com o resultado. O gráfico de $J(\Theta)$ é decrescente, o que significa que a implementação está correta.

Para $\alpha = 10$ e $\alpha = 3$, o programa não rodou. O custo estourou e vai a infinito em algumas iterações, o que significa que o método não convergiu.

Para $\alpha = 1$, $\alpha = 0.3$, $\alpha = 0.1$, $\alpha = 0.03$, $\alpha = 0.01$ e $\alpha = 0.003$, o custo final foi basicamente o mesmo: $J(\Theta) = 1.2$. Para $\alpha = 0.001$, o custo final foi de $J(\Theta) = 1.55$.

Analisando os custos finais e os gráficos para cada valor de alfa, todos os valores até $\alpha = 0.01$ aproximaram bem os dados de treinamento até $x = 100$, a partir daí a aproximação despreza os dados de treinamento e cresce mais do que esses dados. A partir de $\alpha = 0.003$, quando alfa começa a decrescer, a aproximação piora em x mediano, mas melhora em valores maiores de x : $h_\theta(X)$ demora mais para crescer exponencialmente em relação aos dados de treinamento, assim para $x = 134$ a aproximação é um pouco melhor, mas ainda se despreza muito dos dados de treinamento.

Nesta implementação, utilizamos a pseudo-inversa de uma matriz mencionada nas aulas.

A implementação por equações normais devolveu basicamente a mesma aproximação de $\alpha = 1$, $\alpha = 0.3$, $\alpha = 0.1$, $\alpha = 0.03$ e $\alpha = 0.01$ do item anterior, com gráficos similares e custo final exatamente igual. A diferença foi no tempo de execução, que foi levemente menor que 15000 iterações do Gradiente Descendente.

3.2 Classificação multi-classe

Para esta parte, foi utilizado o *dataset MNIST*, que consiste em dígitos feitos à mão para o computador reconhecer e classificar dígitos entre 0 à 9. Além disso, os dados já foram transformados em suas formas de vetores para melhor ajuste na regressão logística.

Depois do desenvolvimento de toda a parte estrutural do nosso código, começamos os nossos testes com $\alpha = 0.01$ e 50 iterações, temos como resultado dessa primeira implementação na figura 15, podemos ver que os dados não apresentam no todo uma configuração exata da nossa classificação, olhando para a linha 5 no qual os dados deveriam estar mais acumulados na coluna 4, é pela ordem de início das matrizes do *python*, podemos então perceber que pela dispersão ele não seria um α adequado para as nossas verificações. Não vamos entrar na questão do tempo para o processamento dessa iteração, mas ele foi classificado como alto, esse foi um dos motivos pelo qual mudamos o

número de passos até encontrar algum que nos permitisse fazer verificações no α em tempos consideráveis. Para o próximo teste foi escolhido um $\alpha = 0.2$ e 50 iterações, mesmo com o comentário feito acima mantemos o número de iterações até o momento, podemos perceber a melhora na distribuição de resultados como é possível ver na figura 13. Nos próximos testes vamos variar um pouco o número de iterações para encontrar um novo α e assim continuar verificando a distribuição de dados na nossa matriz de confusão. Para o terceiro teste aumentamos o valor de $\alpha = 0.4$ e colocamos 25 iterações, podemos ver os resultados dessa nova configuração na figura 17, observando mais atentamente podemos perceber uma grande semelhança entre esse último teste e o último. Para fim de testar ao extremo as modificações no nosso α , mantemos agora nosso número de iterações em 10 e aumentamos ele para 0.8 e 1.0 nas figuras 18 e 14, podemos notar uma leve piora na distribuição dos dados para o $\alpha = 0.8$ em comparação com o 0.4 o que por sua vez pode ser explicado pela diminuição de iterações mas também vemos que eles melhoram um pouco para o $\alpha = 1.0$. Como último teste aumentamos o α para $\alpha = 1.5$ e 10 iterações, aqui obtemos uma piora expressiva na distribuição de resultados na figura 16. Como foi possível verificar nos dados apresentados com o α inicial pequeno não conseguimos chegar a resultados satisfatórios, logo encontramos uma faixa na qual ele conseguisse descrever melhor e seus resultados ficassem dentro de uma faixa de normalidade, no fim com o grande aumento dele mantendo essa mesma faixa percebemos que ele acaba se desviando dos valores reais, a correção do último efeito pode vir com aumento do número de iterações.

4 Conclusão

Com isso, percebemos que na parte 1 a função polinomial se saiu melhor para aproximar os casos de COVID-19 do que a função exponencial. Isso se deve pois no caso exponencial, encontramos pesos que minimizavam a função $\log(h_\theta(X))$ e não da função $h_\theta(X)$. Principalmente por esse fator, os valores obtidos de Θ não foram os melhores para aproximar a função. Além disso, percebeu-se que polinômios de grau pequeno não geravam uma boa aproximação para o modelo. Porém, para $n = 10$ e $\alpha = 0.2$, a função de aproximação $h_\theta(x)$ obteve resultados excelentes. No gráfico dos resultados, essa argumentação fica bem clara.

Já na segunda parte, Quando analisamos os resultados obtidos, podemos perceber uma melhora no aumento dos α fixando uma certa quantidade de iterações, mas não podemos comparar α de diferentes passos, logo quando fixamos para 10 iterações e observamos as variações dos resultados para $\alpha = 0.8, 1.0, 1.5$. Com isso, podemos notar que aconteceu uma melhora para $\alpha = 1.0$, mas logo depois os dados se dispersaram, principalmente no valor de $\alpha = 1.5$. Nosso modelo conseguiu classificar os dados com êxito e ainda foi possível perceber um valor de barreira para os α para certos números de iterações.

Com esses resultados, podemos concluir que a aplicação de modelos de *machine learning* ainda são úteis em aplicações desses problemas.

References

- [1] Normal equations in machine learning. http://mlwiki.org/index.php/Normal_Equation.
- [2] Ludovic Arnold, Sébastien Rebecchi, Sylvain Chevallier, and Hélène Paugam-Moisy. An introduction to deep learning. volume 1, pages 477–488, 01 2011.
- [3] Joao B. Florindo. Ms960 : Tópicos especiais em processamento de imagens. <https://www.youtube.com/playlist?list=PLGwGFVrptiyRmFoDWxruNGgTu2cSPnTLX>, 2020.
- [4] Aurelien Geron. Hands-on machine learning with scikit-learn and tensorflow: Concepts, tools, and techniques to build intelligent systems, 2017.
- [5] Naveen Venkatesan. Using logistic regression to create a binary and multiclass classifier from basics. <https://towardsdatascience.com/using-logistic-regression-to-create-a-binary-and-multiclass-classifier-from-basics-26f5>

Anexo

Problema 1 : Aproximação linear e não linear

Regressão polinomial

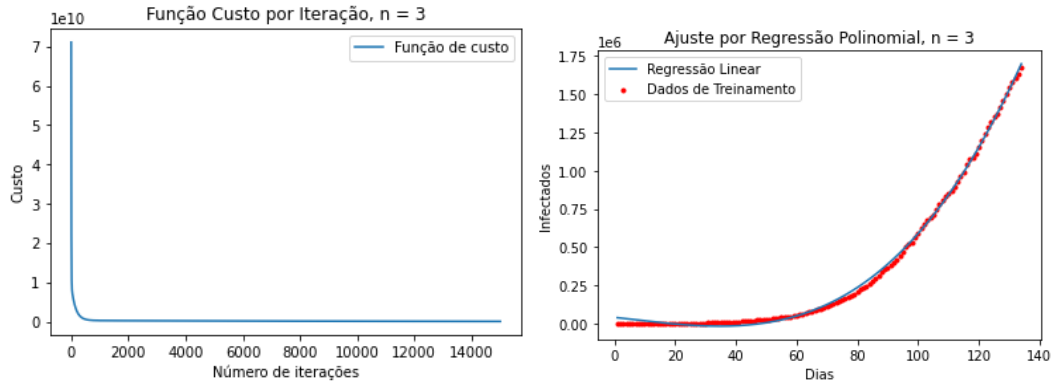


Figure 1: Resultado dos *plots*, respectivamente, das funções de perda e da estimativa da função polinomial $h_{\theta}(x)$

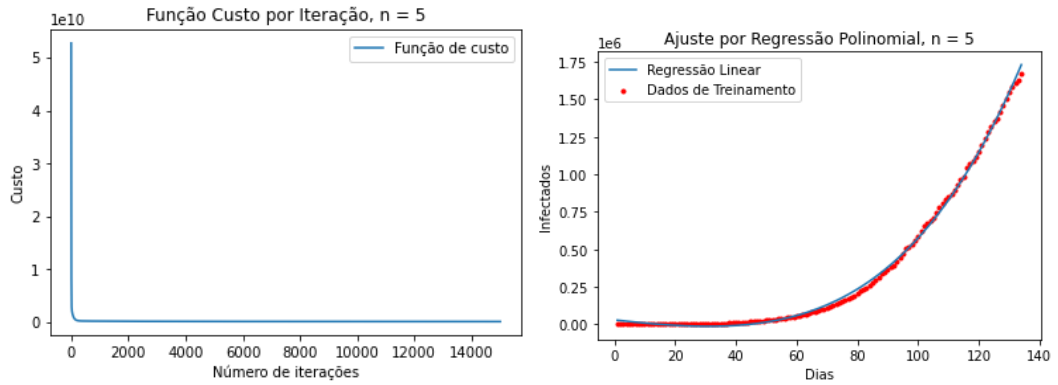


Figure 2: Resultado dos *plots*, respectivamente, das funções de perda e da estimativa da função polinomial $h_{\theta}(x)$

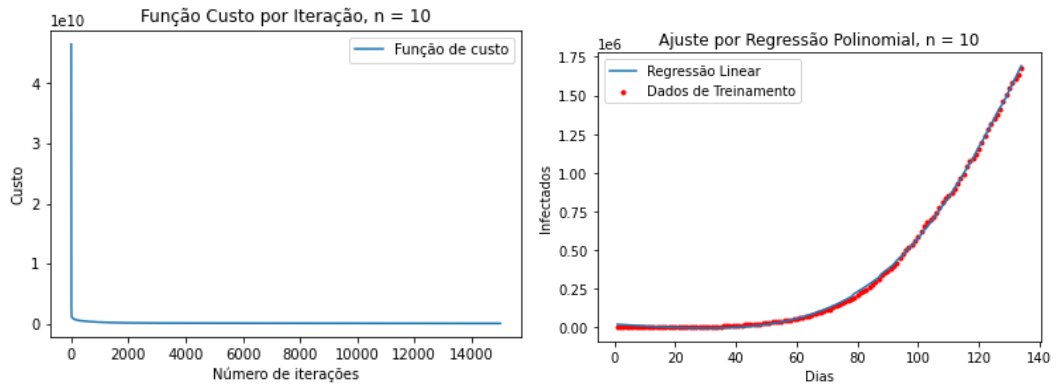


Figure 3: Resultado dos *plots*, respectivamente, das funções de perda e da estimativa da função polinomial $h_{\theta}(x)$

Ajuste por curvas exponenciais com diferentes valores de α

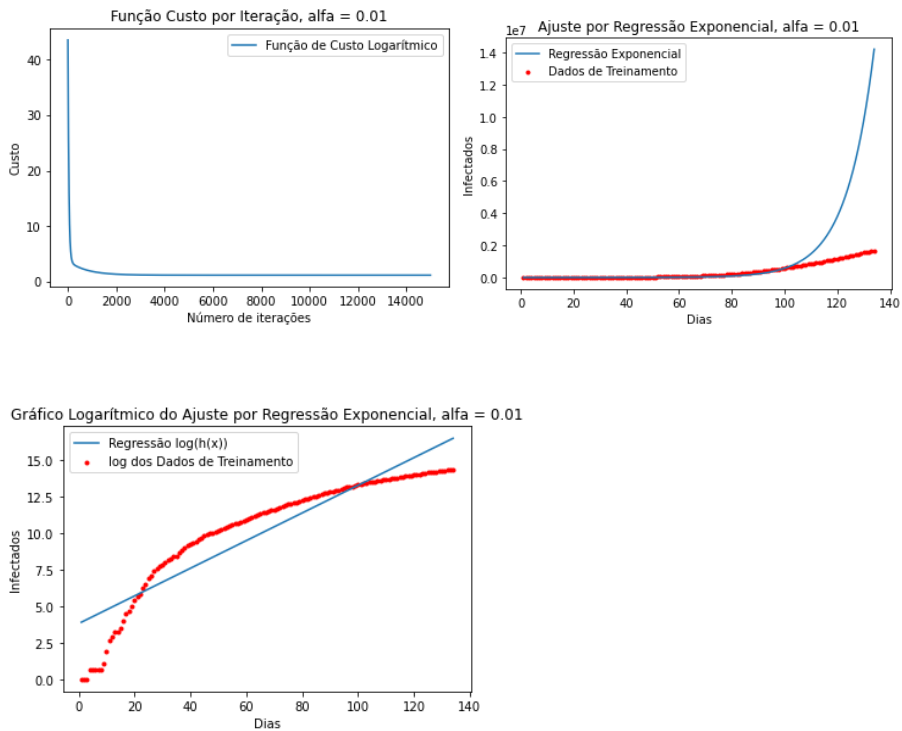


Figure 4: Resultado dos *plots*, respectivamente, das funções de perda, da aproximação pela exponencial e da aproximação $\log(h_{\theta}(x))$

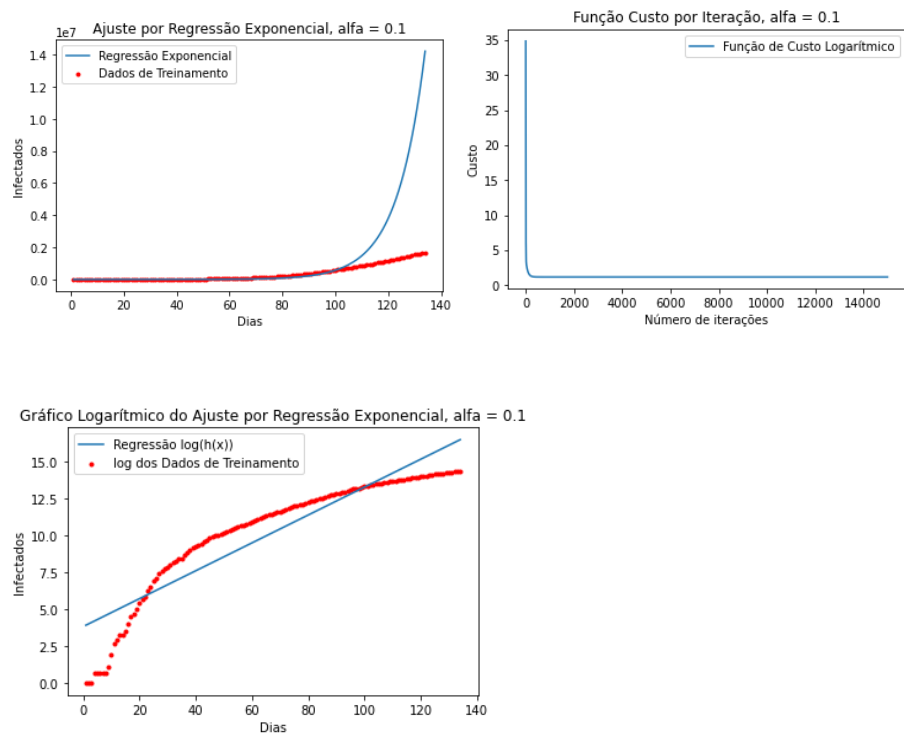


Figure 5: Resultado dos *plots*, respectivamente, das funções de perda, da aproximação pela exponencial e da aproximação $\log(h_\theta(x))$

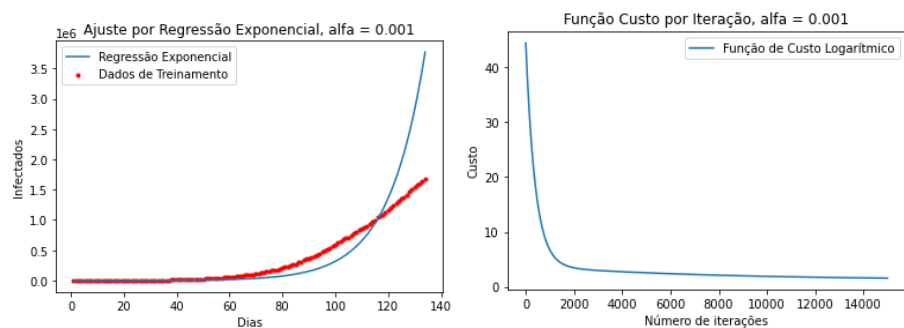


Gráfico Logarítmico do Ajuste por Regressão Exponencial, $\alpha = 0.001$

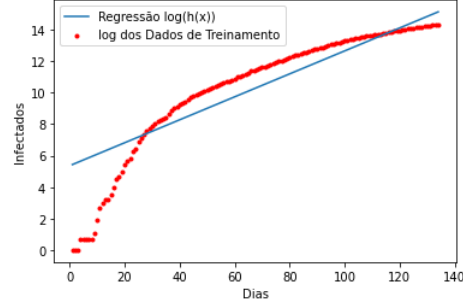


Figure 6: Resultado dos *plots*, respectivamente, das funções de perda, da aproximação pela exponencial e da aproximação $\log(h_{\theta}(x))$

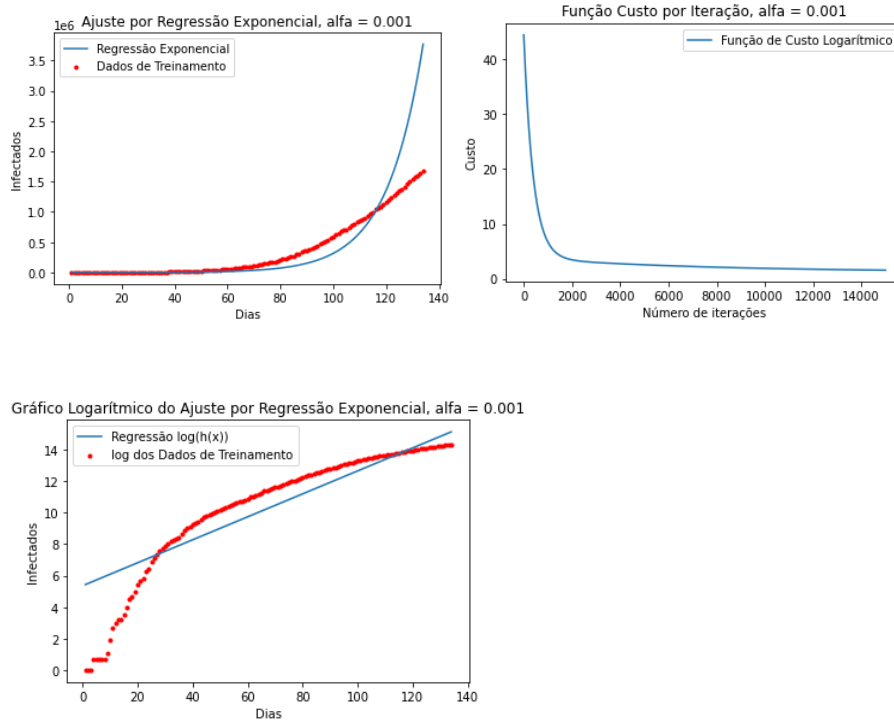


Figure 7: Resultado dos *plots*, respectivamente, das funções de perda, da aproximação pela exponencial e da aproximação $\log(h_{\theta}(x))$

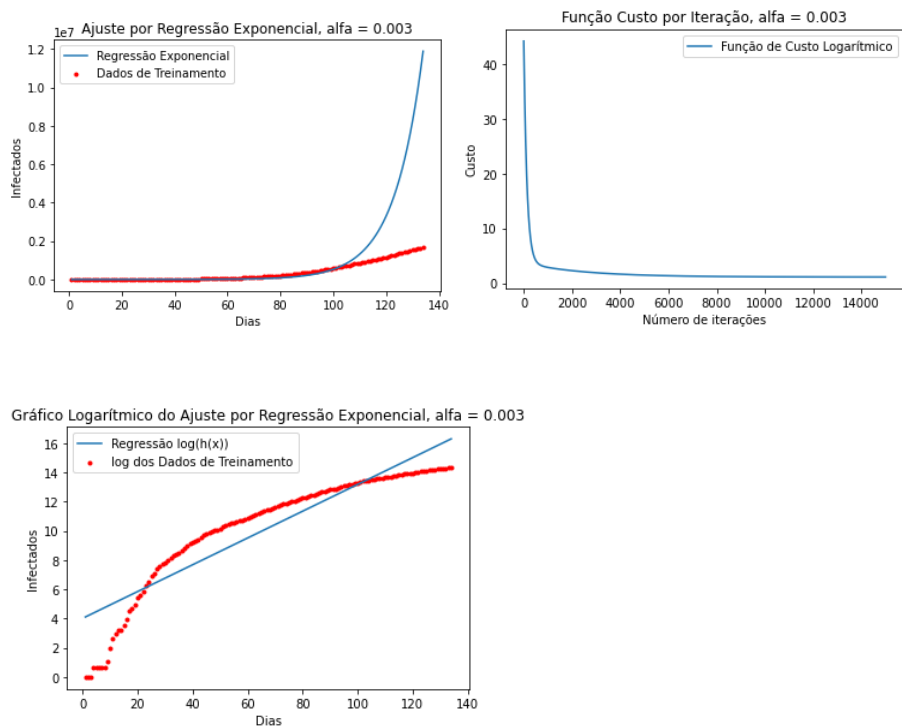


Figure 8: Resultado dos *plots*, respectivamente, das funções de perda, da aproximação pela exponencial e da aproximação $\log(h_{\theta}(x))$

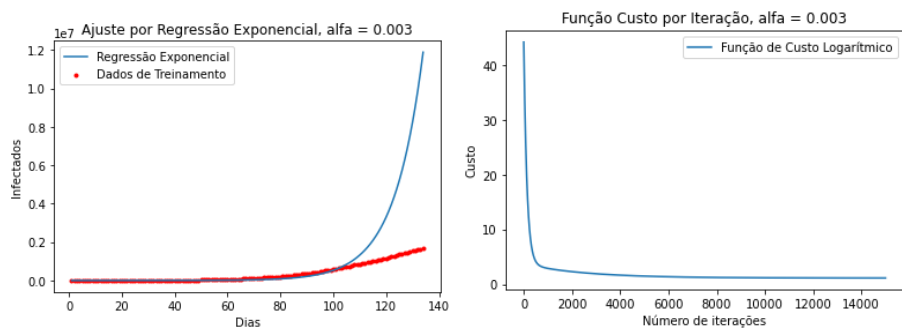


Gráfico Logarítmico do Ajuste por Regressão Exponencial, alfa = 0.003

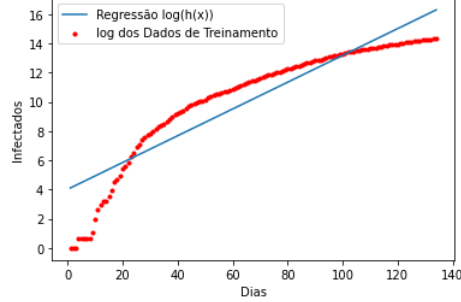


Figure 9: Resultado dos *plots*, respectivamente, das funções de perda, da aproximação pela exponencial e da aproximação $\log(h_\theta(x))$

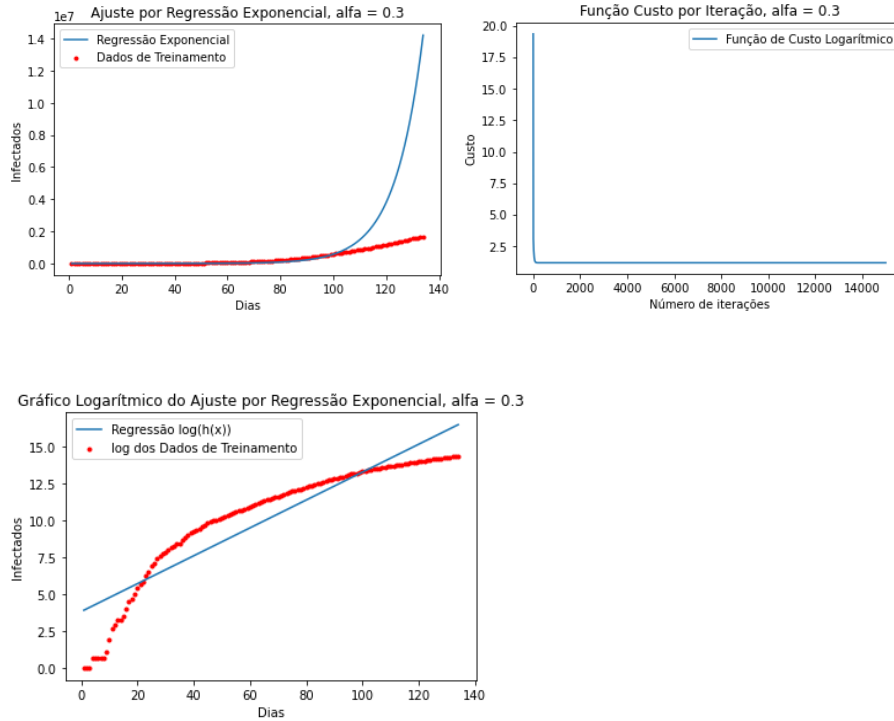


Figure 10: Resultado dos *plots*, respectivamente, das funções de perda, da aproximação pela exponencial e da aproximação $\log(h_\theta(x))$

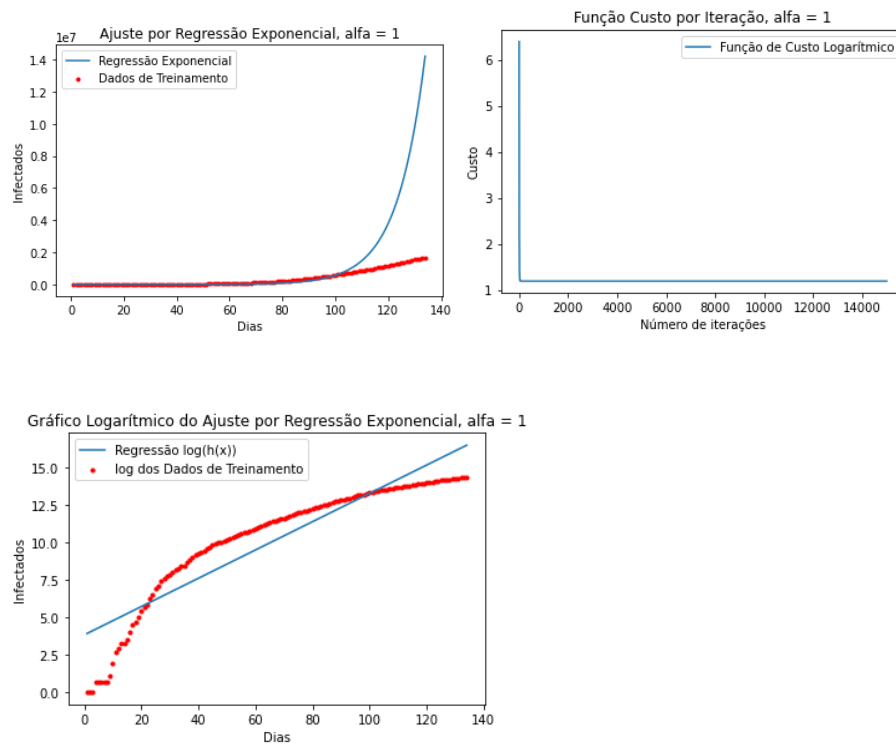


Figure 11: Resultado dos *plots*, respectivamente, das funções de perda, da aproximação pela exponencial e da aproximação $\log(h_{\theta}(x))$

Aproximação utilizando equações normais

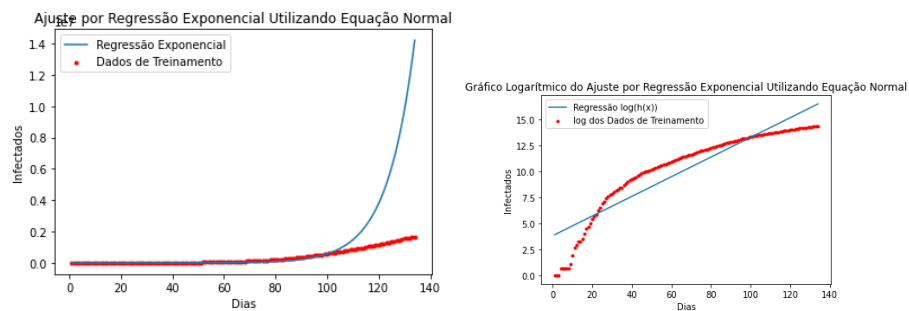


Figure 12: Resultado dos *plots*, respectivamente, da aproximação pela exponencial e da aproximação $\log(h_{\theta}(x))$ utilizando equações normais

Regressão Logística

$\alpha = 0.2$ e 50 iterações

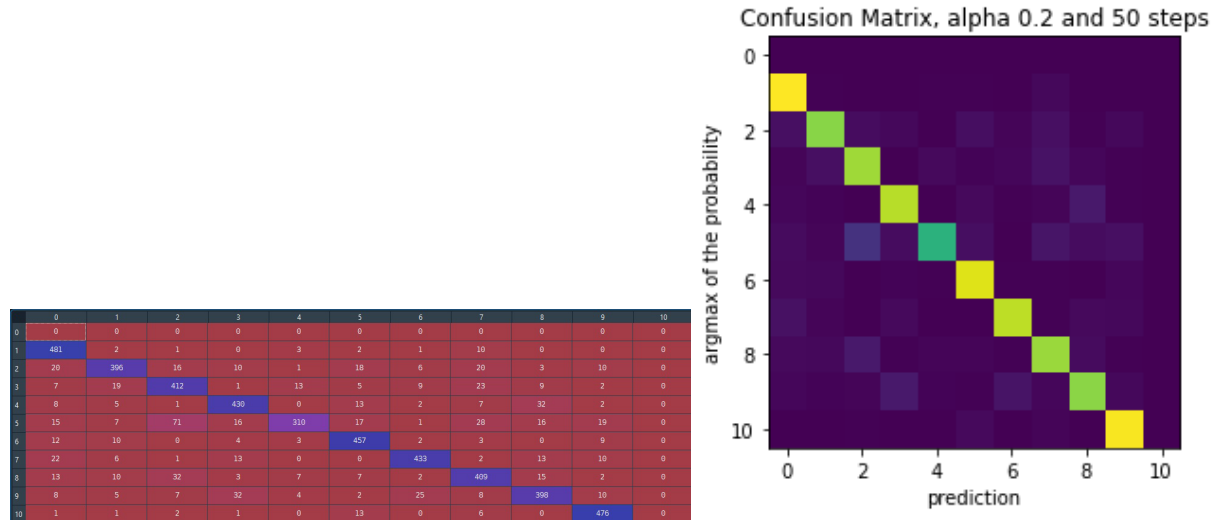


Figure 13: Resultado dos valores obtidos nas iterações e o resultado pela matriz de confusão

$\alpha = 1.0$ e 10 iterações

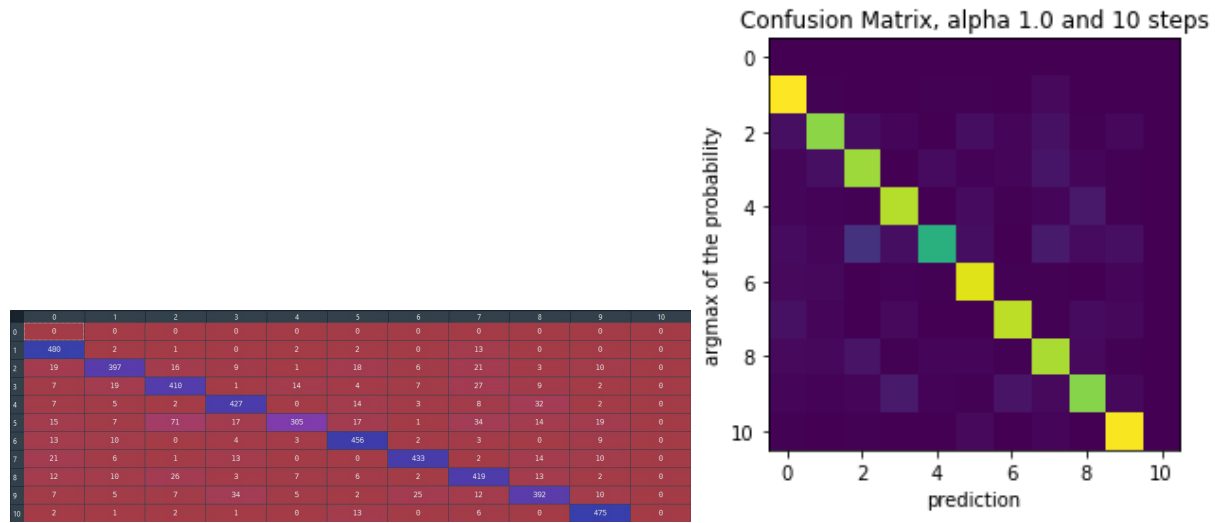


Figure 14: Resultado dos valores obtidos nas iterações e o resultado pela matriz de confusão

$\alpha = 0.01$ e 50 iterações

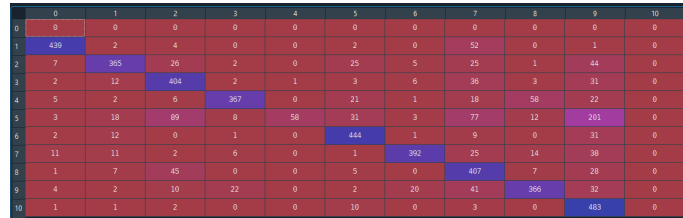


Figure 15: Resultado dos valores obtidos nas iterações

$\alpha = 1.5$ e 10 iterações

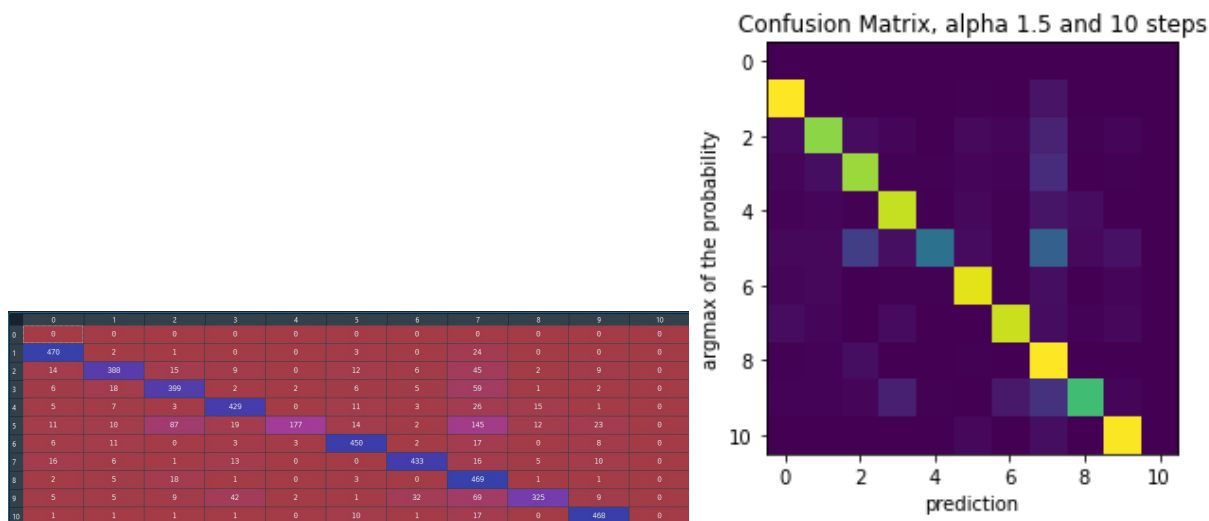


Figure 16: Resultado dos valores obtidos nas iterações e o resultado pela matriz de confusão

$\alpha = 0.4$ e 25 iterações

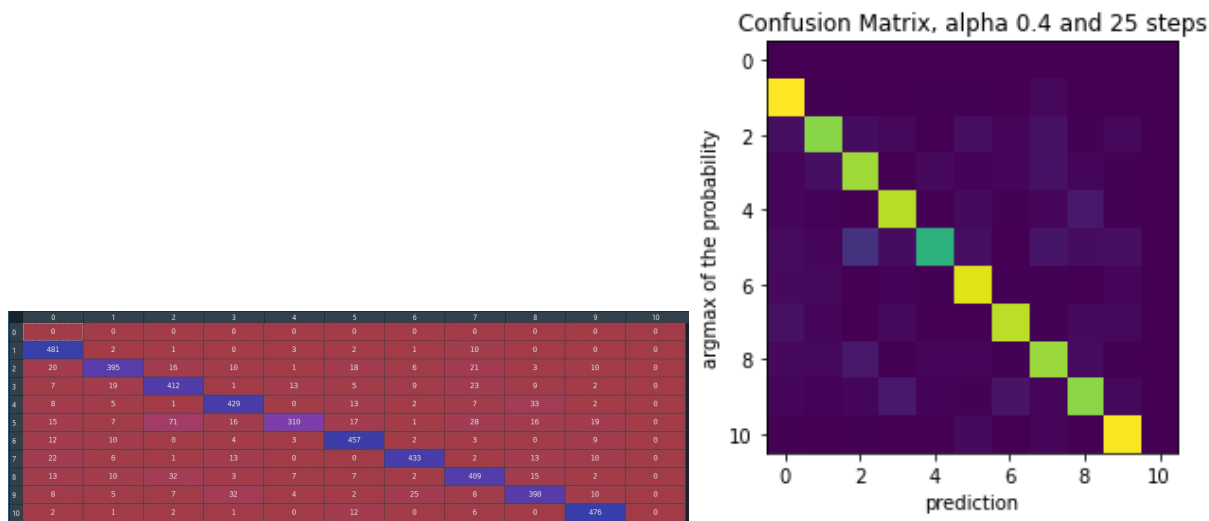


Figure 17: Resultado dos valores obtidos nas iterações e o resultado pela matriz de confusão

$\alpha = 0.8$ e 10 iterações

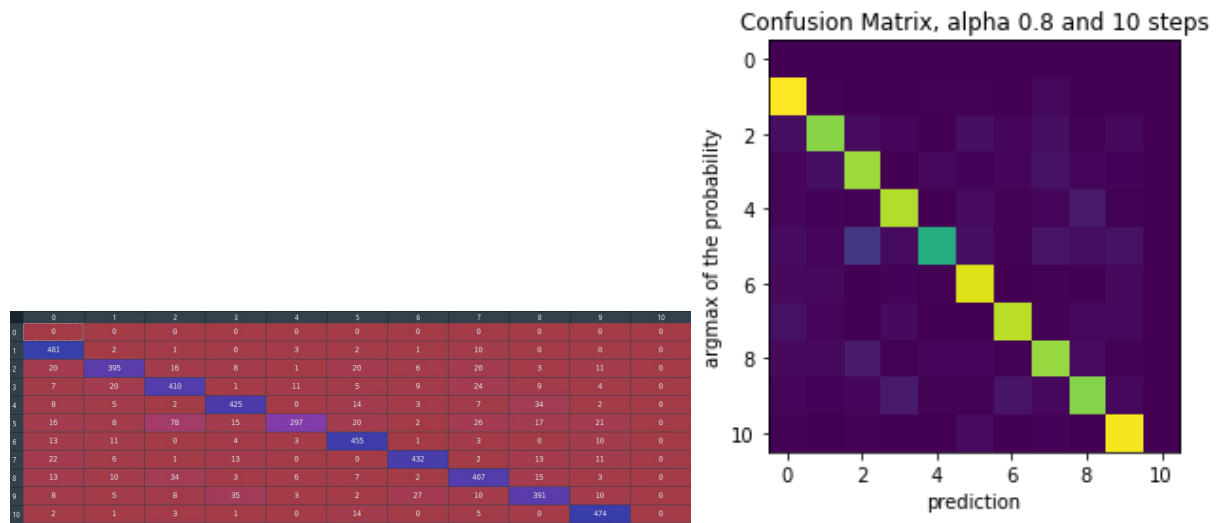
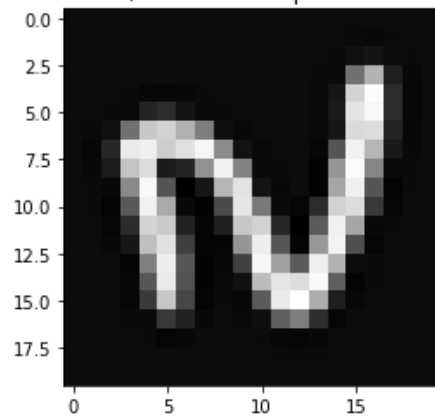


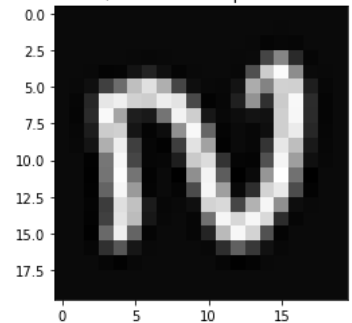
Figure 18: Resultado dos valores obtidos nas iterações e o resultado pela matriz de confusão

Classificações equivocadas do modelo

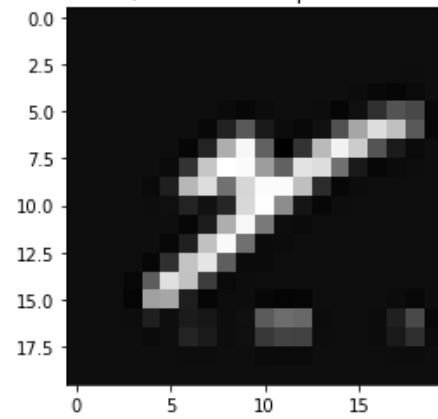
alpha 1.5 de 10 iter, número 5 com probabilidade 0.69 de ser 3



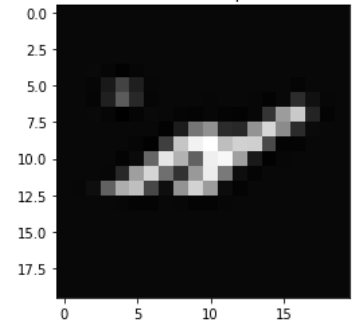
alpha 1.5 de 10 iter, número 5 com probabilidade 0.79 de ser 3



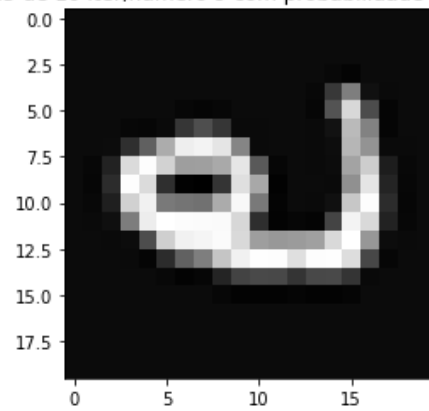
alpha 1.5 de 10 iter,número 4 com probabilidade 0.72 de ser 8



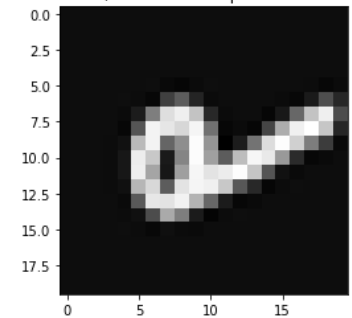
alpha 1.5 de 10 iter,número 4 com probabilidade 0.80 de ser 1



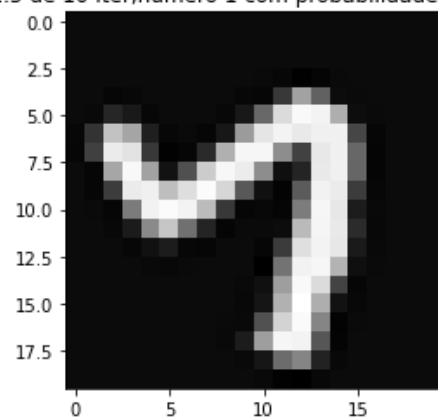
alpha 1.5 de 10 iter,número 9 com probabilidade 0.766 de ser 3



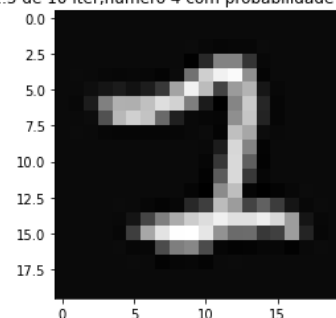
alpha 1.5 de 10 iter,número 9 com probabilidade 0.644 de ser 1



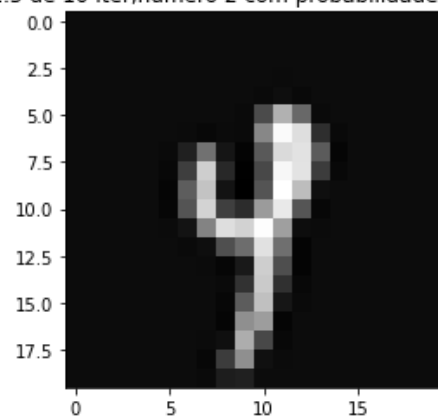
alpha 1.5 de 10 iter,número 1 com probabilidade 0.88 de ser 6



alpha 1.5 de 10 iter,número 4 com probabilidade 0.49 de ser 10



alpha 1.5 de 10 iter,número 2 com probabilidade 0.68 de ser 4



alpha 1.5 de 10 iter,número 2 com probabilidade 0.74 de ser 8

